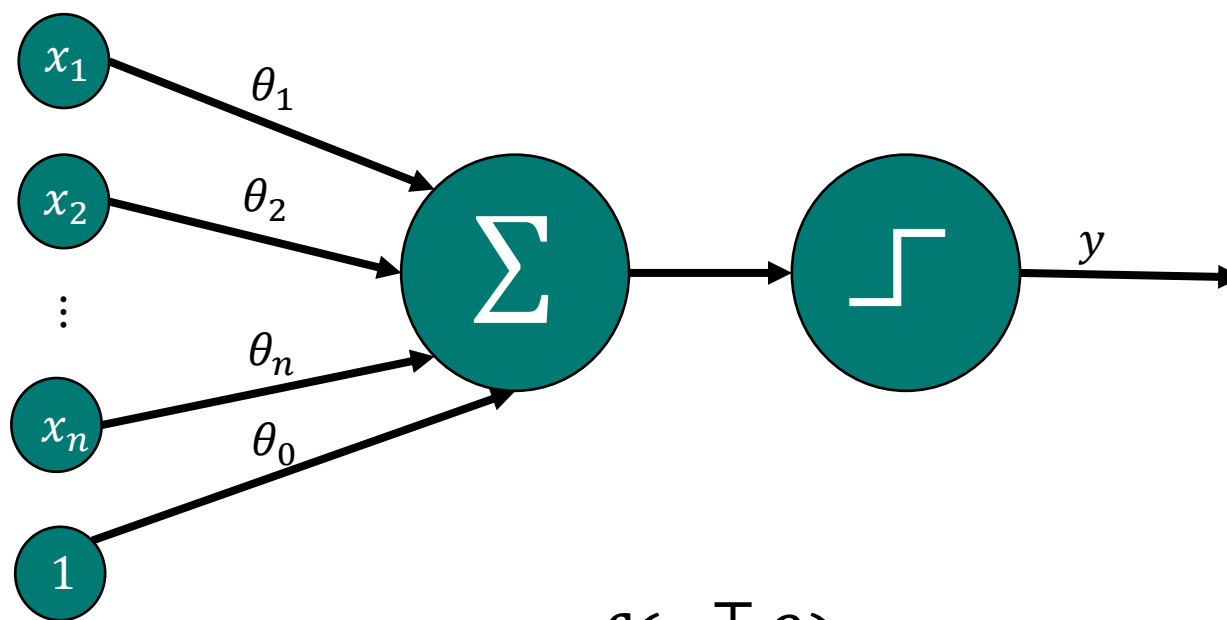


Matematyczne podstawy deep learningu

Wprowadzenie

- Perceptron (Rosenblatt 1957):

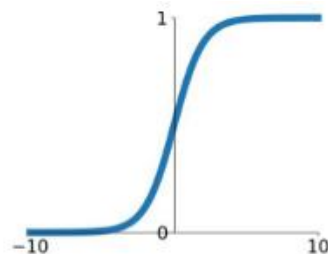


$$y = f(x^{\top} \theta)$$

Funkcje aktywacji

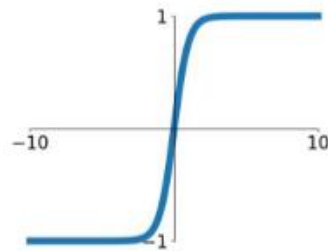
Sigmoid

$$\sigma(x) = \frac{1}{1+e^{-x}}$$



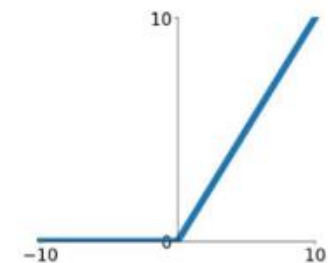
tanh

$$\tanh(x)$$



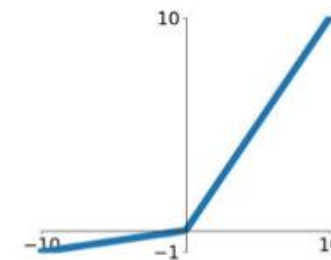
ReLU

$$\max(0, x)$$



Leaky ReLU

$$\max(0.1x, x)$$

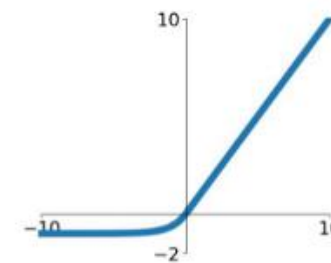


Maxout

$$\max(w_1^T x + b_1, w_2^T x + b_2)$$

ELU

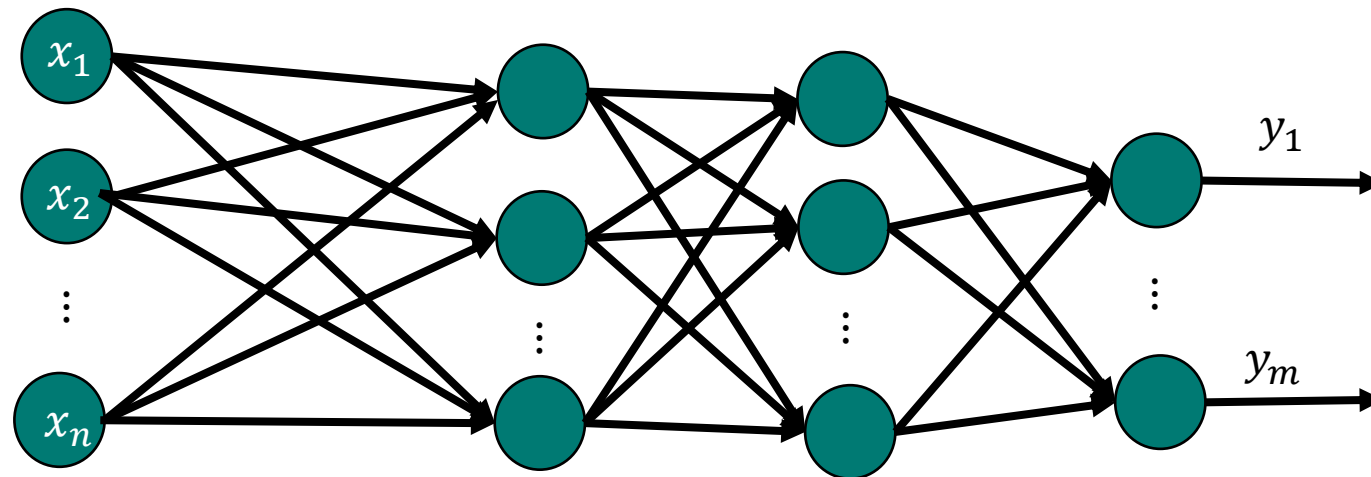
$$\begin{cases} x & x \geq 0 \\ \alpha(e^x - 1) & x < 0 \end{cases}$$



Źródło: <https://medium.com/@shrutijadon10104776/survey-on-activation-functions-for-deep-learning-9689331ba092>

Wprowadzenie

- Dużo bardziej interesujące od perceptronów są sieci z warstwami ukrytymi:

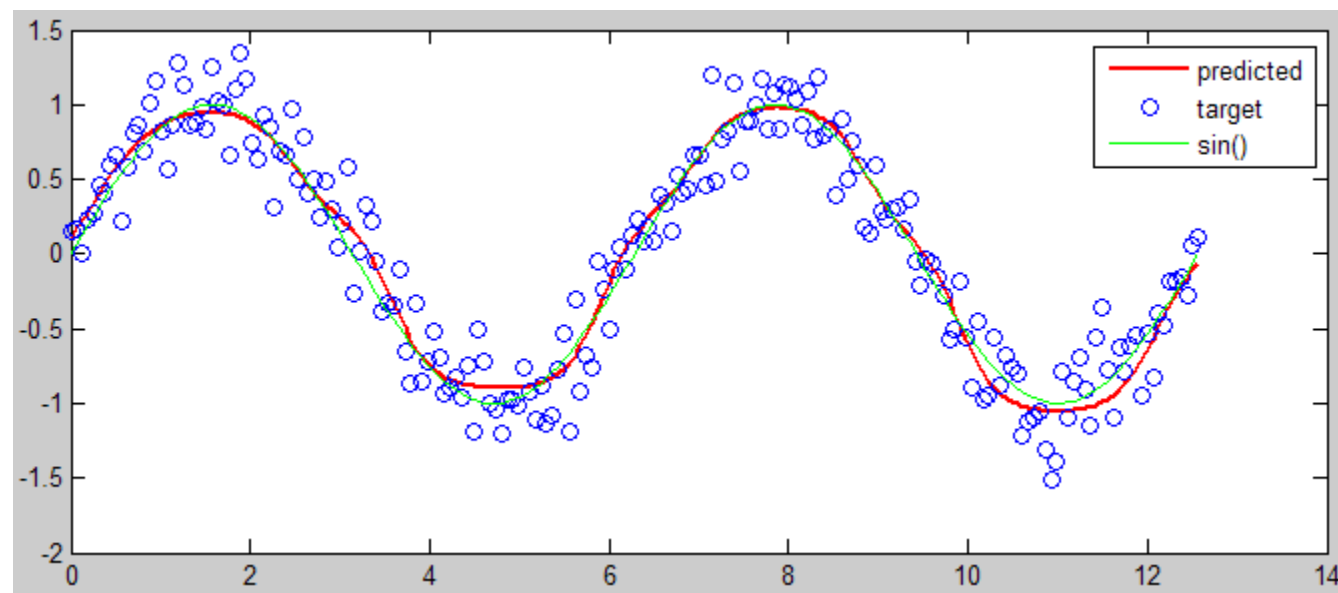


Wprowadzenie

- Problem uczenia sieci neuronowych możemy de facto sprowadzić do problemu aproksymacji pewnej funkcji $\phi(x)$ za pomocą złożenia funkcji: $\hat{\phi}(x; \theta) = f^{(L)}(\dots f^{(2)}(f^{(1)}(x, \theta^{(1)}), \theta^{(2)}), \theta^{(L)})$, gdzie $f^{(i)}$ oznacza **funkcję aktywacji** na i – tej warstwie, a $\theta^{(i)}$ wektor wag na i – tej warstwie.

Wprowadzenie

- Problem uczenia sieci neuronowych możemy de facto sprowadzić do problemu aproksymacji pewnej funkcji $\phi(x)$ za pomocą złożenia funkcji: $\hat{\phi}(x; \theta) = f^{(L)}(\dots f^{(2)}(f^{(1)}(x, \theta^{(1)}), \theta^{(2)}), \theta^{(L)})$, gdzie $f^{(i)}$ oznacza **funkcję aktywacji** na i – tej warstwie, a $\theta^{(i)}$ wektor wag na i – tej warstwie.



Źródło: <https://stackoverflow.com/questions/1565115/approximating-function-with-neural-network>

Wprowadzenie

- O ile funkcje aktywacji f musimy zadać z góry (są one hiperparametrami modelu), tak wagi θ są parametrami, które musimy dobrać aby sieć była w stanie efektywnie aproksymować funkcję $\hat{\phi}$.
- Intuicyjnym rozwiązaniem tego problemu jest zoptymalizowanie wag θ tak aby funkcja $\hat{\phi}$ była jak najbliższa rzeczywistej funkcji ϕ .
- Nie możemy jednak zrobić tego wprost – optymalizacja w procesie uczenia sieci neuronowych musi odbywać się w sposób niejawny za pomocą zdefiniowanej **funkcji kosztu** $J(\theta)$.

Optymalizacja sieci neuronowej

- Funkcje kosztu $J(\theta)$ definiujemy zazwyczaj jako przeciętną wartość **funkcji straty** L :

$$J(\theta) = \mathbb{E}_{(x,y) \sim \mathcal{D}} L(\hat{\phi}(x; \theta), y)$$

gdzie \mathcal{D} to rozkład zmiennych x i y .

- Naszym celem jest **minimalizacja** funkcji $J(\theta)$, czyli znalezienie takiego wektora wag θ dla którego błąd będzie możliwie najniższy.

Optymalizacja sieci neuronowej

- Funkcje kosztu $J(\theta)$ definiujemy zazwyczaj jako przeciętną wartość **funkcji straty** L :

$$J(\theta) = \mathbb{E}_{(x,y) \sim \hat{\mathcal{D}}} L(\hat{\phi}(x; \theta), y)$$

gdzie $\hat{\mathcal{D}}$ to rozkład empiryczny zmiennych x i y .

- Naszym celem jest **minimalizacja** funkcji $J(\theta)$, czyli znalezienie takiego wektora wag θ dla którego błąd będzie możliwie najniższy.

Optymalizacja sieci neuronowej

Table 1: List of losses analysed in this paper. \mathbf{y} is true label as one-hot encoding, $\hat{\mathbf{y}}$ is true label as +1/-1 encoding, \mathbf{o} is the output of the last layer of the network, $\cdot^{(j)}$ denotes j th dimension of a given vector, and $\sigma(\cdot)$ denotes probability estimate.

symbol	name	equation
\mathcal{L}_1	L_1 loss	$\ \mathbf{y} - \mathbf{o}\ _1$
\mathcal{L}_2	L_2 loss	$\ \mathbf{y} - \mathbf{o}\ _2^2$
$\mathcal{L}_1 \circ \sigma$	expectation loss	$\ \mathbf{y} - \sigma(\mathbf{o})\ _1$
$\mathcal{L}_2 \circ \sigma$	regularised expectation loss ^[1]	$\ \mathbf{y} - \sigma(\mathbf{o})\ _2^2$
$\mathcal{L}_\infty \circ \sigma$	Chebyshev loss	$\max_j \sigma(\mathbf{o})^{(j)} - \mathbf{y}^{(j)} $
hinge	hinge [13] (margin) loss	$\sum_j \max(0, \frac{1}{2} - \hat{\mathbf{y}}^{(j)} \mathbf{o}^{(j)})$
hinge ²	squared hinge (margin) loss	$\sum_j \max(0, \frac{1}{2} - \hat{\mathbf{y}}^{(j)} \mathbf{o}^{(j)})^2$
hinge ³	cubed hinge (margin) loss	$\sum_j \max(0, \frac{1}{2} - \hat{\mathbf{y}}^{(j)} \mathbf{o}^{(j)})^3$
log	log (cross entropy) loss	$-\sum_j \mathbf{y}^{(j)} \log \sigma(\mathbf{o})^{(j)}$
log ²	squared log loss	$-\sum_j [\mathbf{y}^{(j)} \log \sigma(\mathbf{o})^{(j)}]^2$
tan	Tanimoto loss	$\frac{-\sum_j \sigma(\mathbf{o})^{(j)} \mathbf{y}^{(j)}}{\ \sigma(\mathbf{o})\ _2^2 + \ \mathbf{y}\ _2^2 - \sum_j \sigma(\mathbf{o})^{(j)} \mathbf{y}^{(j)}}$
D _{CS}	Cauchy-Schwarz Divergence [3]	$-\log \frac{\sum_j \sigma(\mathbf{o})^{(j)} \mathbf{y}^{(j)}}{\ \sigma(\mathbf{o})\ _2 \ \mathbf{y}\ _2}$

Źródło: (Janocha, Czarnecki 2017): <https://arxiv.org/pdf/1702.05659.pdf>

Optymalizacja sieci neuronowej

- Zazwyczaj nie robimy tego w sposób **deterministyczny** – optymalizacja funkcji kosztu dla każdej obserwacji ze zbioru testowego byłaby nieefektywna i powolna. Efektywniejszym rozwiązaniem jest **optymalizacja stochastyczna**.

Optymalizacja sieci neuronowej

- Najczęściej wykorzystywanym algorytmem optymalizacji uczenia sieci neuronowej są algorytmy z rodziny stochastycznych algorytmów gradientowych.

Algorithm 8.1 Stochastic gradient descent (SGD) update

Require: Learning rate schedule $\epsilon_1, \epsilon_2, \dots$

Require: Initial parameter θ

$k \leftarrow 1$

while stopping criterion not met **do**

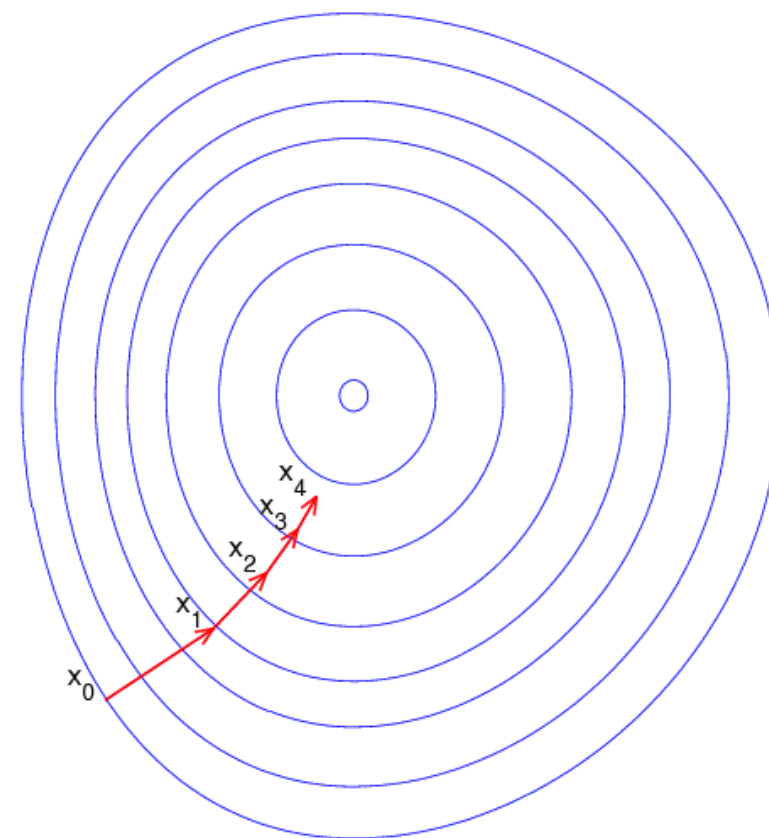
Sample a minibatch of m examples from the training set $\{\mathbf{x}^{(1)}, \dots, \mathbf{x}^{(m)}\}$ with corresponding targets $\mathbf{y}^{(i)}$.

Compute gradient estimate: $\hat{\mathbf{g}} \leftarrow \frac{1}{m} \nabla_{\theta} \sum_i L(f(\mathbf{x}^{(i)}; \theta), \mathbf{y}^{(i)})$

Apply update: $\theta \leftarrow \theta - \epsilon_k \hat{\mathbf{g}}$

$k \leftarrow k + 1$

end while



Optymalizacja sieci neuronowej

- W przypadku ich wykorzystywania kluczowe jest wybranie odpowiedniej wartości **stopu uczenia (learning rate) η**
- Zazwyczaj nie przyjmuje się jej na stałym poziomie dla wszystkich iteracji algorytmu, tylko zmienia wraz z każdą kolejną iteracją.

Optymalizacja sieci neuronowej

- Warunki gwarantujące zbieżność algorytmu:

$$\sum_{i=1}^k \eta_i = \infty$$
$$\sum_{i=1}^k \eta_i^2 < \infty$$

- Zazwyczaj przyjmujemy, że stopa uczenia zmniejsza się liniowo do pewnej iteracji τ a następnie jest stała:

$$\eta_i = (1 - \alpha)\eta_0 + \alpha\eta_\tau$$

gdzie $\alpha = \frac{i}{\tau}$

Błąd generalizacji

- Dla funkcji straty:

$$J(\theta) = \mathbb{E}_{(x,y) \sim \mathcal{D}} L(\hat{\phi}(x; \theta), y)$$

- I miary empirycznego ryzyka postaci:

$$\hat{J}(\theta) = \frac{1}{k} \sum_{i=1}^k L(\hat{\phi}(x_i; \theta), y_i)$$

- Błąd generalizacji definiujemy jako:

$$\hat{J}(\theta) - J(\theta)$$

Twierdzenie Hardta

Hardt M., Recht B., Singer Y. *Train faster, generalize better: Stability of stochastic gradient descent*, Mathematics of Control, Proceedings of the 33rd International Conference on International Conference on Machine Learning - Volume 48, s. 1225-1234, 2016

- Zgodnie z twierdzeniem każdy model uczony za pomocą stochastycznej metody gradientów jest w stanie osiągnąć pomijalnie błąd generalizacji za pomocą dostatecznie dużej liczby kroków.

Twierdzenie Hardta

- Zdefiniujmy $A(S)$ jako algorytm generujący modele na próbce losowej $S = (z_1, z_2, \dots, z_n)$ generowanej \mathcal{D} . Wtedy błąd generalizacji możemy przedstawić jako:

$$\mathbb{E}_{S,A}[\hat{J}(A(S)) - J(A(S))] \leq \epsilon_S(A, n)$$

Twierdzenie Hardta

Twierdzenie :

Niech $\forall y \phi(\cdot, y)$ będzie funkcją wypukłą spełniającą warunek L Lipschitza i niech $\nabla \phi$ spełnia warunek β Lipschitza. Przyjmijmy, że uruchomiliśmy algorytm stochastycznego gradientu T razy z krokiem $\eta_t \leq 2/\beta$. Wtedy:

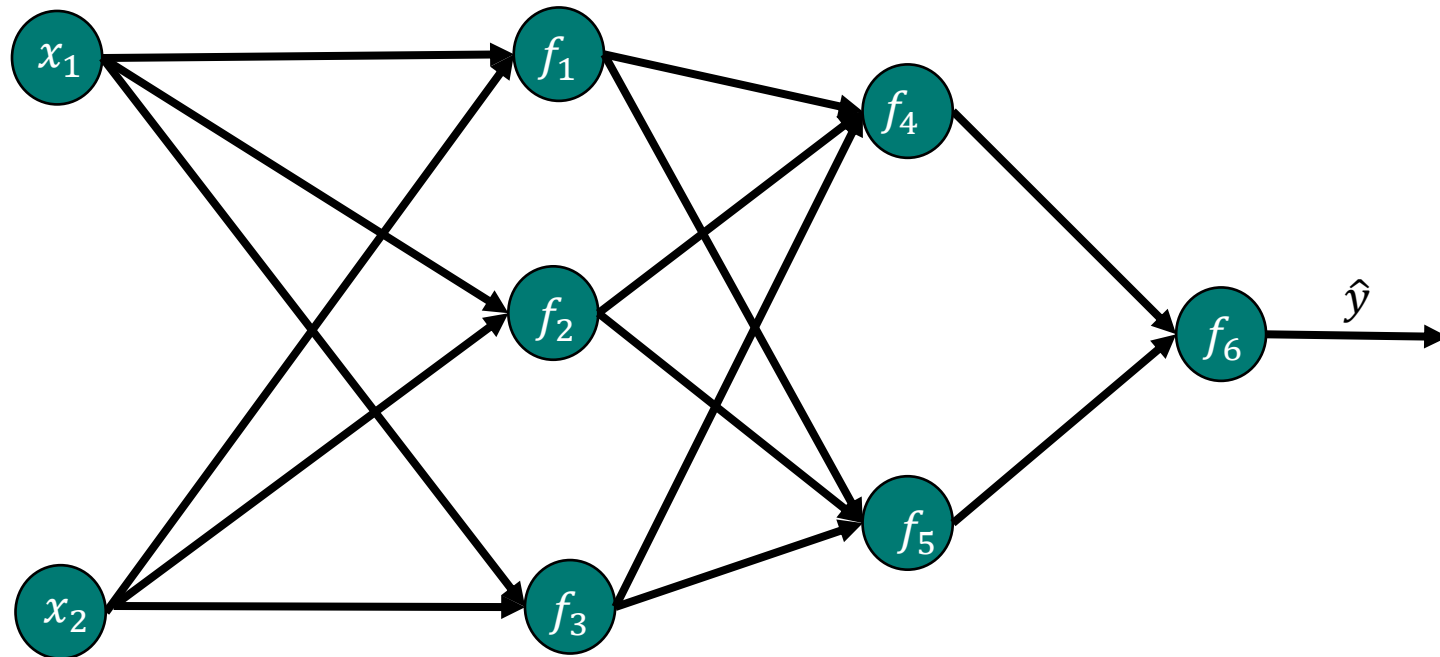
$$\epsilon_s = \frac{2L^2}{n} \sum_{t=1}^T \eta_t$$

Optymalizacja sieci neuronowej

- Algorytmem wykorzystywanym do optymalizacji jest zazwyczaj algorytm **propagacji wstecznej** (*backpropagation*).

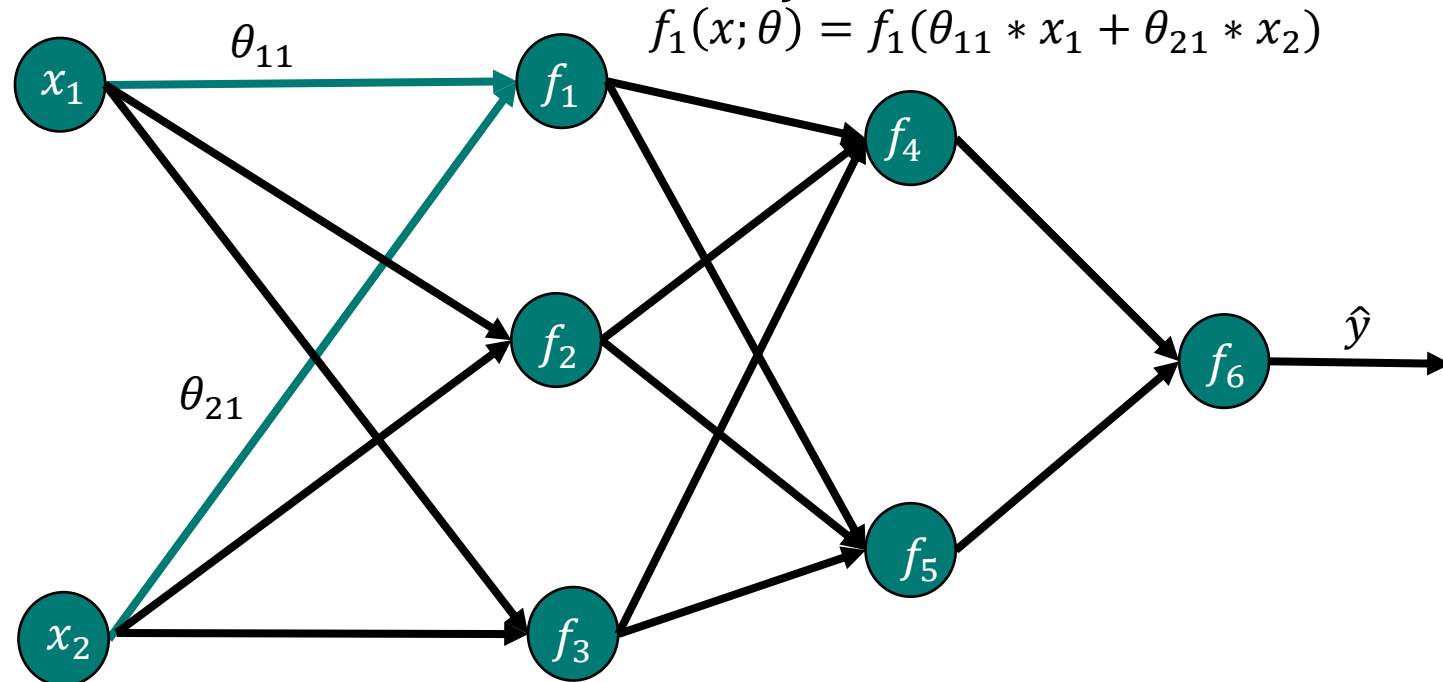
Optymalizacja sieci neuronowej

- Proces **propagacji** danych wewnątrz sieci neuronowej jest intuicyjny:



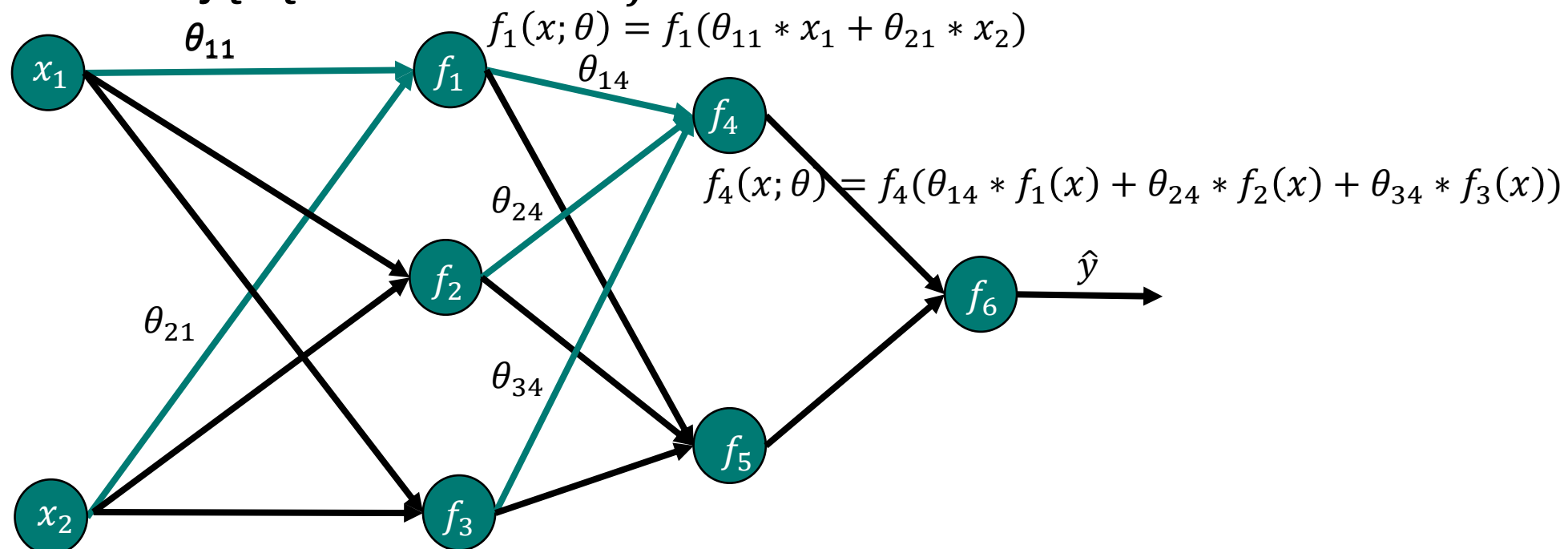
Optymalizacja sieci neuronowej

- Wartość każdego neuronu wewnątrz sieci jest kombinacją liniową danych z poprzedniej warstwy przetworzonych przed odpowiednią funkcją wprowadzającą nieliniowość f :



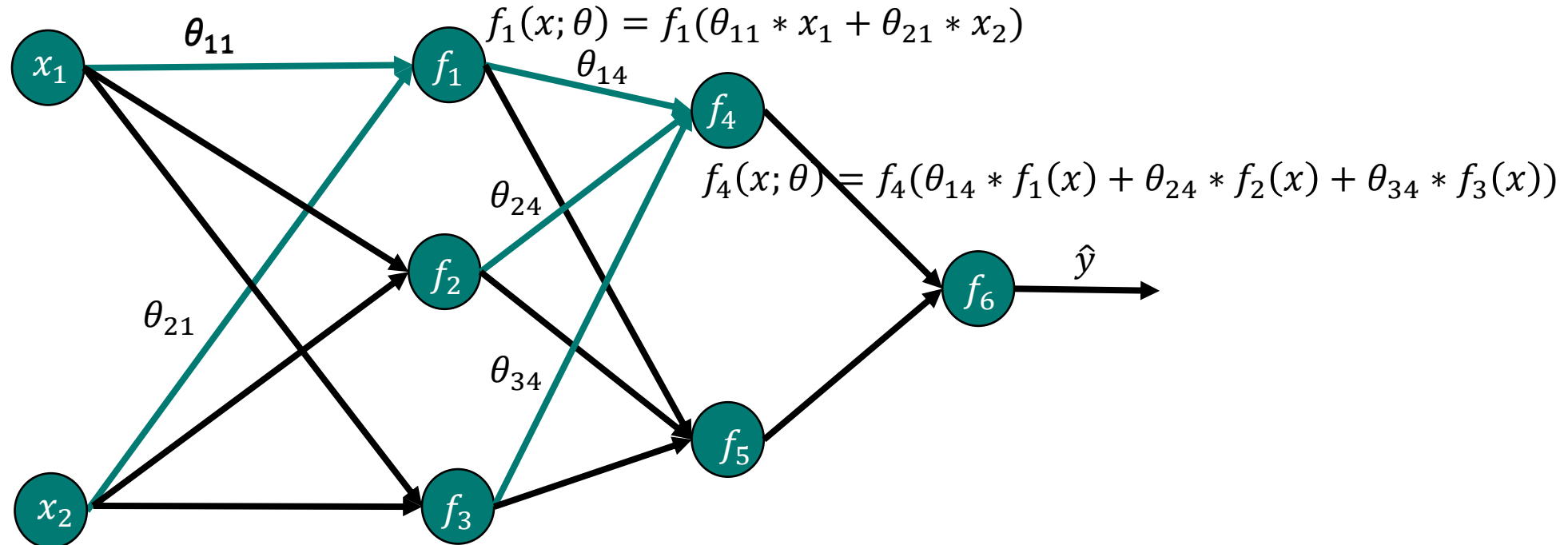
Optymalizacja sieci neuronowej

- Wartość każdego neuronu wewnątrz sieci jest kombinacją liniową danych z poprzedniej warstwy przetworzonych przed odpowiednią funkcję wprowadzającą nieliniowość f :



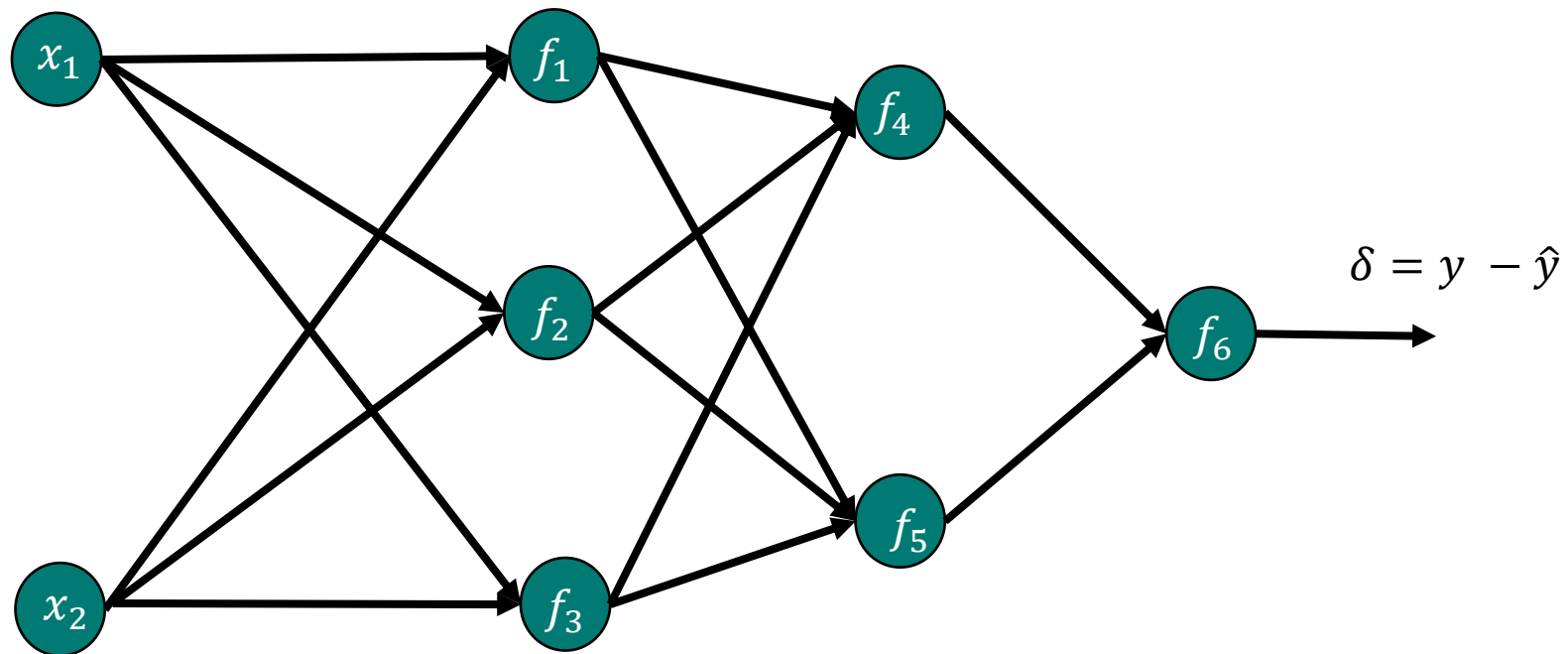
Optymalizacja sieci neuronowej

- Nietrywialne jest jednak uczenie sieci. Jesteśmy w stanie wyznaczyć błąd na wyjściowej warstwie:



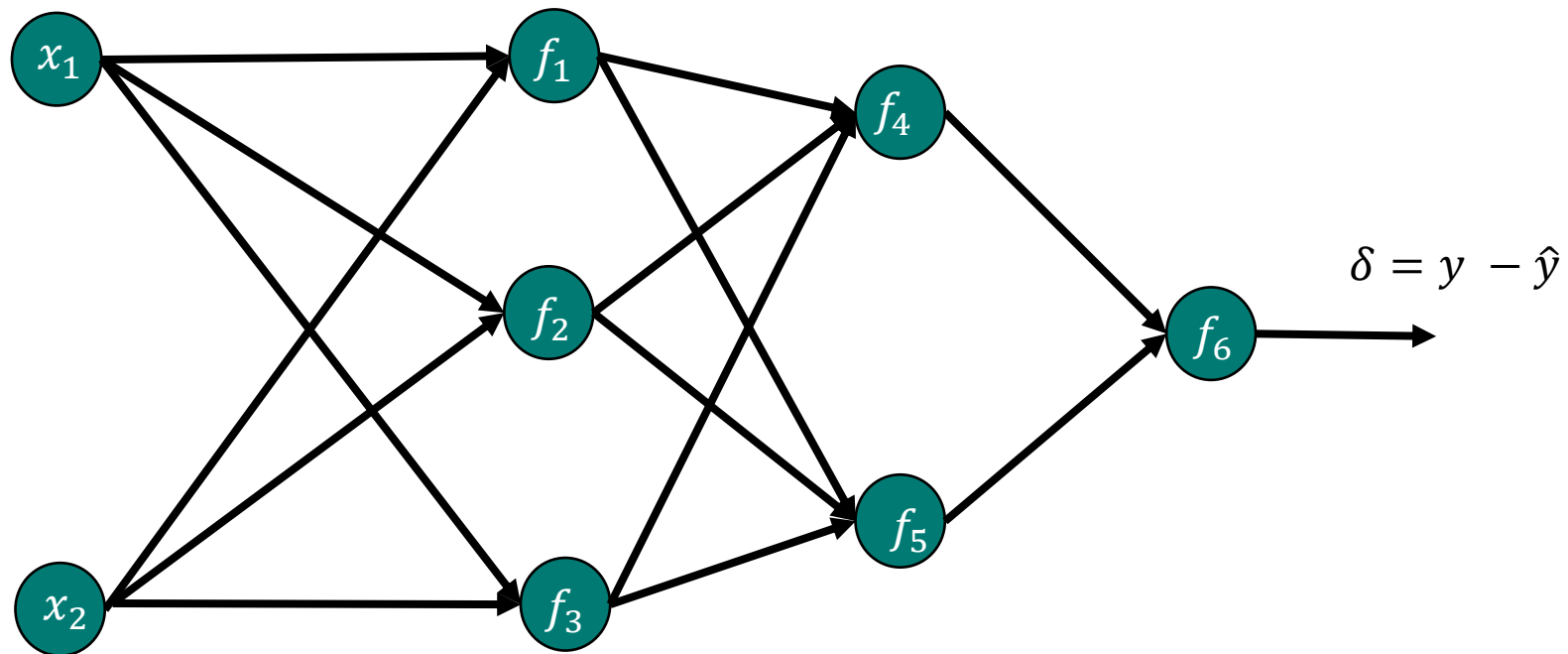
Optymalizacja sieci neuronowej

- Nietrywialne jest jednak uczenie sieci. Jesteśmy w stanie wyznaczyć błąd na wyjściowej warstwie:



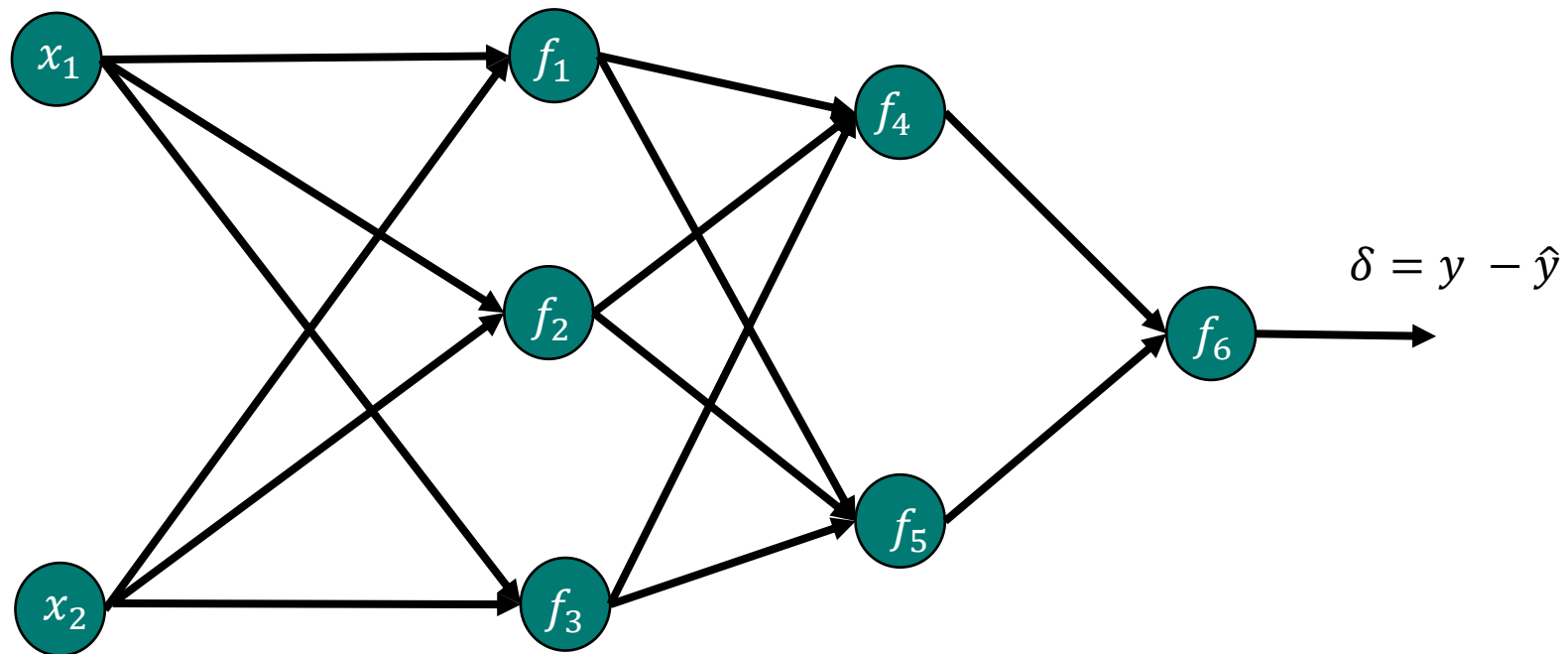
Optymalizacja sieci neuronowej

- Jak jednak wyznaczyć błąd dla warstw ukrytych?



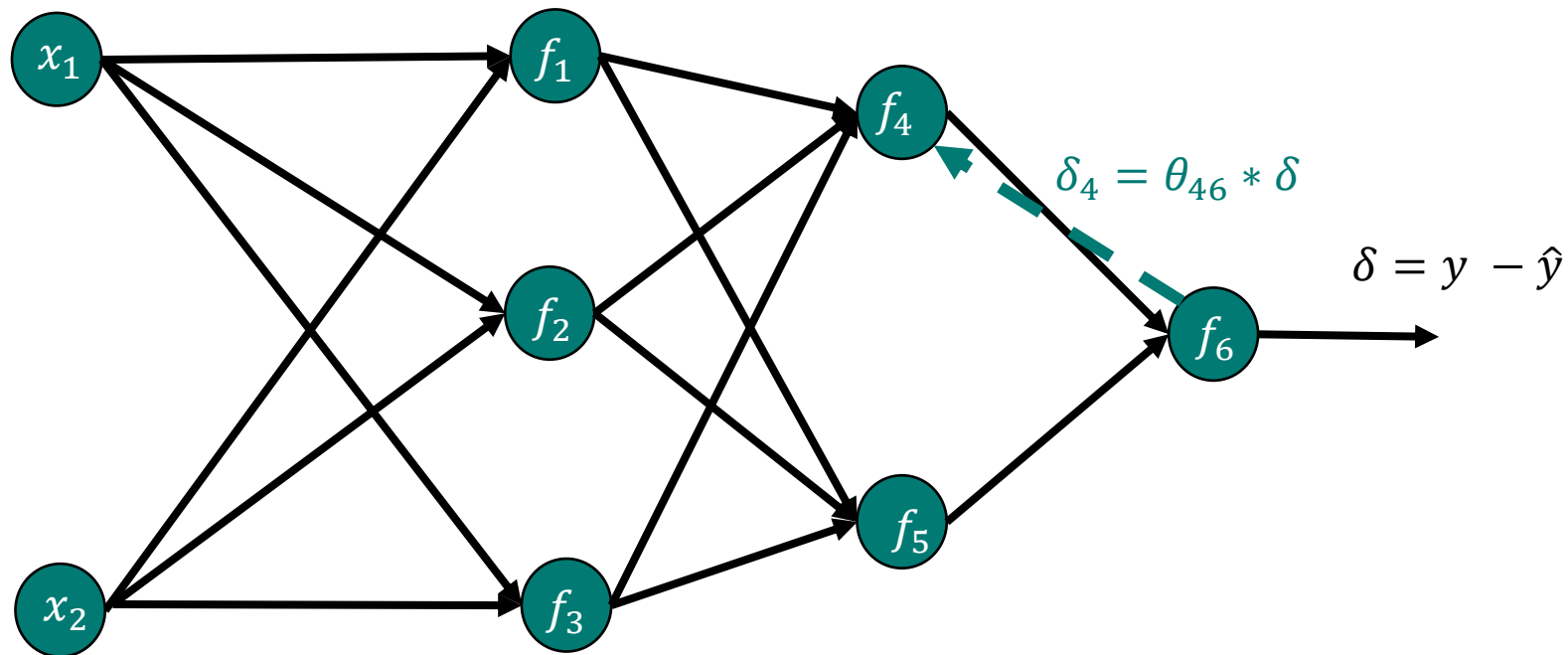
Optymalizacja sieci neuronowej

- Rozwiązaniem tego problemu jest wykorzystanie algorytmu propagacji wstecznej.



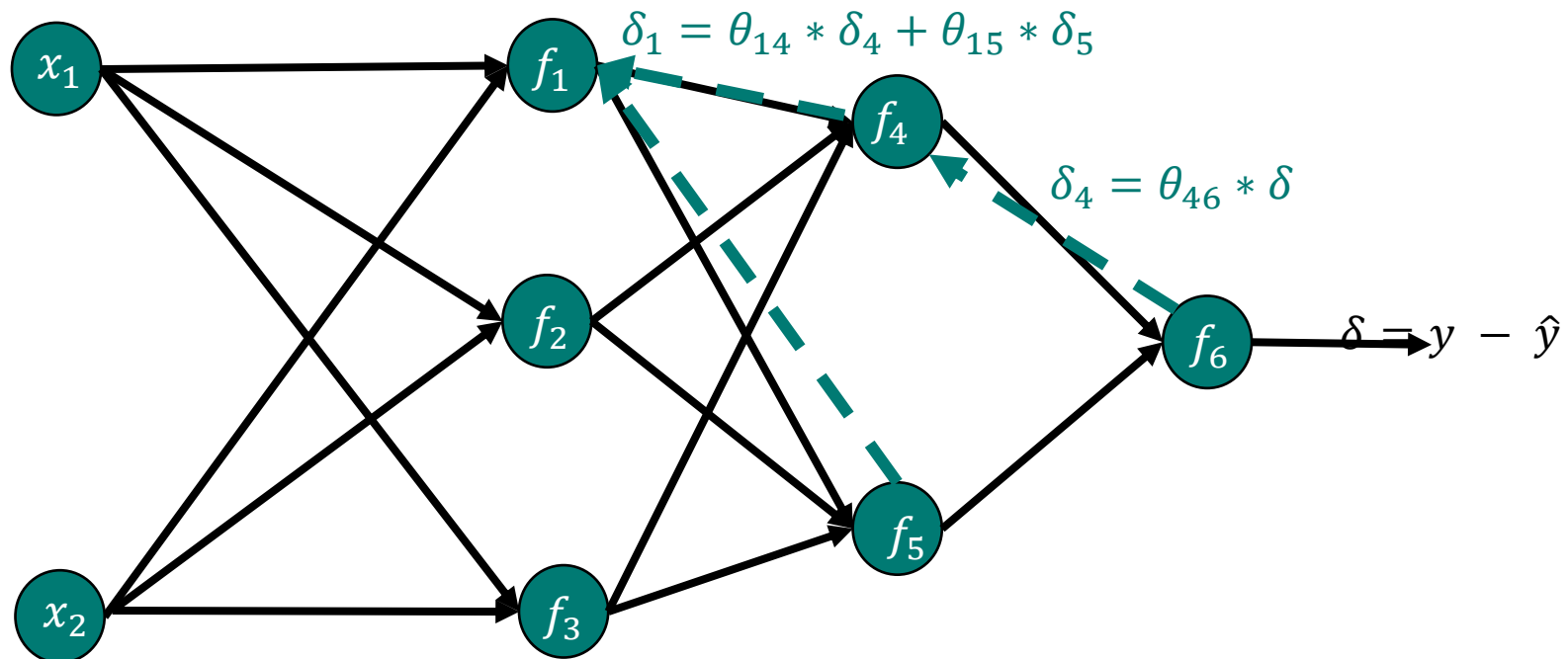
Optymalizacja sieci neuronowej

- Okazuje się, że błąd otrzymany na wyjściu można w efektywny sposób wykorzystać do wyznaczenia błędu na pozostałych warstwach. „Odwracając” ścieżkę jaką przechodzimy w sieci:



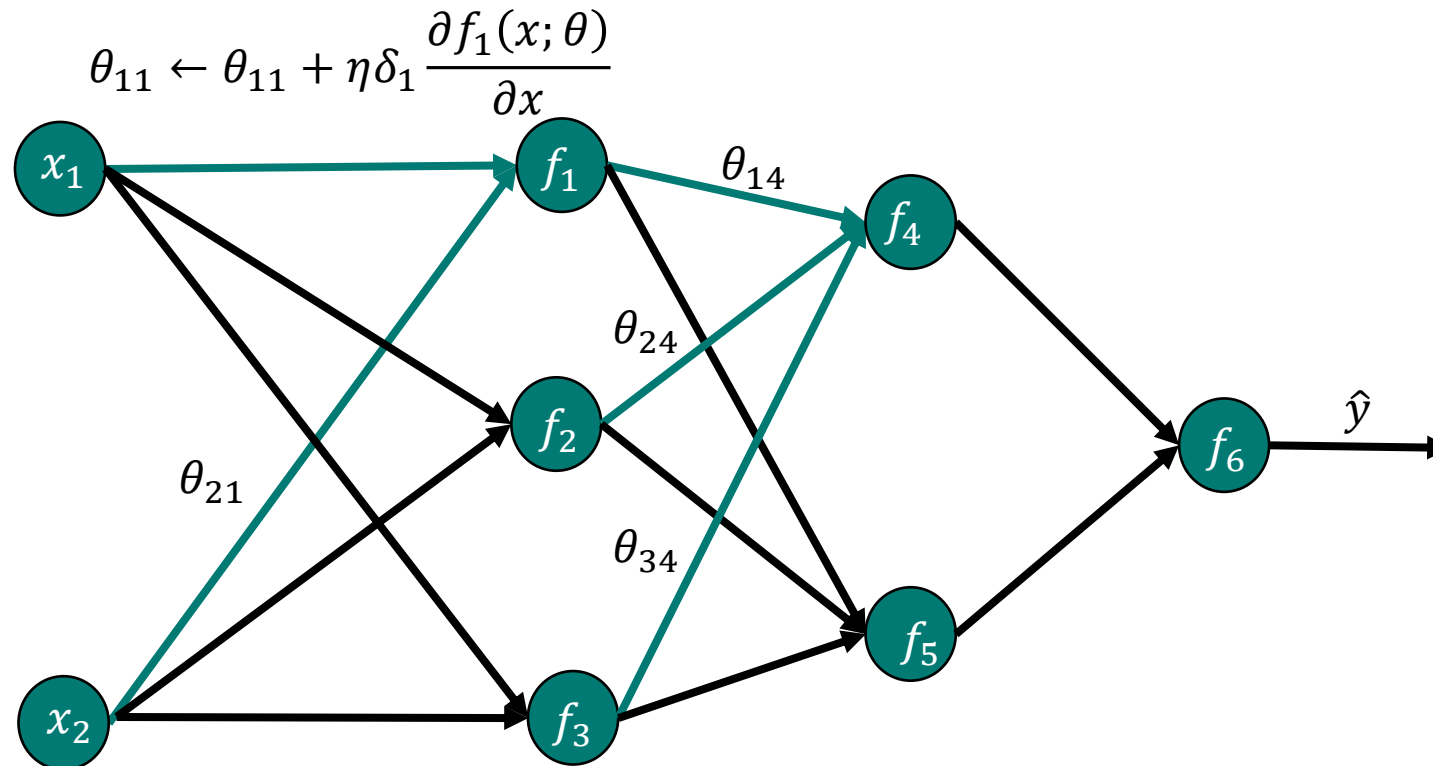
Optymalizacja sieci neuronowej

- Okazuje się, że błąd otrzymany na wyjściu można w efektywny sposób wykorzystać do wyznaczenia błędu na pozostałych warstwach. „Odwracając” ścieżkę jaką przechodzimy w sieci:



Optymalizacja sieci neuronowej

- Do modyfikacji wag wykorzystujemy algorytm gradientowy:



Sieć neuronowa jako aproksymata

- Dlaczego jednak sieć neuronowa jest efektywniejsza niż inne algorytmy aproksymacyjne?

Sieć neuronowa jako aproksymata

- Dlaczego jednak sieć neuronowa jest efektywniejsza niż inne algorytmy aproksymacyjne?
- Okazuje się, że za pomocą jednokierunkowej sieci neuronowej z jedną warstwą ukrytą i sigmoidalną funkcją aktywacji $\sigma(x)$:

$$\sigma(t) \rightarrow \begin{cases} 1 & \text{gdy } x \rightarrow +\infty \\ 0 & \text{gdy } x \rightarrow -\infty \end{cases}$$

jesteśmy w stanie aproksymować dowolną funkcję $f(x)$ zadaną dokładnością ϵ .

Twierdzenie Cybenki (twierdzenie o uniwersalnym aproksymatorze).

- Cybenko G., *Approximation by superpositions of a sigmoidal function*, Mathematics of Control, Signals, and Systems, 2, s. 303-314, 1989
- Zgodnie z twierdzeniem Cybenki okazuje się, że możliwa jest aproksymacja funkcji d-wymiarowej zmiennej rzeczywistej $x \in \mathbb{R}^d$ zadaną dokładnością za pomocą skończonej liniowej kombinacji postaci:

$$G(x) = \sum_{i=1}^n \alpha_i \sigma(w_i^T x + b_i)$$

gdzie $w_i \in \mathbb{R}^d$ i $\alpha_i, b_i \in \mathbb{R}$ są stałe.

- Wystarczy, że powyższa sieć neuronowa zawiera dostatecznie dużą liczbę neuronów na warstwie ukrytej.

Twierdzenie Cybenki

- Aby móc formalnie wyprowadzić to twierdzenie zdefiniujemy kilka potrzebnych pojęć. Niech:
 - I_n oznacza n -wymiarowy hipersześcian jednostkowy $[0,1]^n$
 - $C(I_n)$ przestrzeń ciągłych funkcji na I_n
 - $\|f\|$ oznacza normę supremum funkcji wewnątrz $C(I_n)$
 - $\|\cdot\|$ oznacza maksimum funkcji w jej dziedzinie
 - $M(I_n)$ jest przestrzenią skończonych, borelowskich regularnych miar znakowanych na I_n

Twierdzenie Cybenki

- $M(I_n)$ jest przestrzenią skończonych, borelowskich regularnych miar znakowanych na I_n
 - Przypomnijmy kilka pojęć z teorii miary:
 - $(\Omega, \mathcal{B}, \mu)$ – przestrzeń z miarą
 - Ω - rozpatrywany zbiór
 - \mathcal{B} - σ - ciało (przestrzeń mierzalna zbioru Ω)
 - μ – miara
 - Miara podzbioru $A = \int_A d\mu(x)$
 - **Funkcja mierzalna** – funkcja zdefiniowana na zbiorze mierzalnym.
 - **σ -algebra borelowska**– najmniejsza σ -algebra zawierająca w sobie wszystkie podzbiory otwarte rozpatrywanego zbioru.
 - **Miara borelowska**– miara zdefiniowana na σ -algebrze borelowskiej.

Twierdzenie Cybenki

- Zdefiniujmy pojęcie **funkcji dyskryminującej**:
 - Funkcja σ jest **dyskryminująca** jeżeli dla miary $\mu \in M(I_n)$

$$\int_{I_n} \sigma(w^T x + b) d\mu(X) = 0 \quad \forall w \in \mathbb{R}^n \text{ i } b \in \mathbb{R}$$

oznacza, że $\mu = 0$

Twierdzenie Cybenki

Twierdzenie 1:

Niech σ będzie dowolną ciągłą funkcją dyskryminującą. Wtedy skończona suma postaci:

$$G(X) = \sum_{i=1}^n a_i \sigma(w_i^T x + b_i)$$

jest zbiorem gęstym w $C(I_n)$.

Innymi słowy, dla dowolnego $f \in C(I_n)$ i $\varepsilon > 0$ istnieje taka suma $G(X)$, dla której:

$$\|G(X) - f(X)\|_{\infty} < \varepsilon$$

Twierdzenie Cybenki

Twierdzenie 2:

Niech σ będzie dowolną ciągłą funkcją sigmoidalną. Wtedy skończona suma postaci:

$$G(X) = \sum_{i=1}^n a_i \sigma(w_i^T x + b_i)$$

jest zbiorem gęstym w $C(I_n)$.

Innymi słowy, dla dowolnego $f \in C(I_n)$ i $\varepsilon > 0$ istnieje taka suma $G(X)$, dla której:

$$\|G(X) - f(X)\|_{\infty} < \varepsilon$$

Twierdzenie Cybenki

Twierdzenie 3:

Niech σ będzie dowolną ciągłą funkcją sigmoidalną. Niech f będzie funkcją decyzyjną dla dowolnego mierzalnego fragmentu I_n . Wtedy dla każdego $\epsilon > 0$ istnieje skończona suma postaci:

$$G(X) = \sum_{i=1}^n a_i \sigma(w_i^T x + b_i)$$

i zbiór $D \subset I_m$ taki, że miara Lebesgue'a $m(D) \geq 1 - \epsilon$ oraz:

$$\|G(X) - f(X)\|_{\infty} < \epsilon \text{ dla } x \in D$$

Sieć neuronowa jako aproksymata

- Twierdzenie Cybenki dotyczy jednak jedynie jednego specyficznego przypadku. Czy dla innych funkcji aktywacji aproksymacja jest podobnie efektywna?

Twierdzenie Hornika

- Hornik K., *Approximation Capabilities of Multilayer Feedforward Networks*, Neural Networks, Vol. 4, pp. 251-257, 1991
- Twierdzenie Hornika rozszerza wyniki otrzymane przez Cybenkę na znacznie szerszą przestrzeń funkcji σ , pokazując de facto że to sama w sobie architektura sieci neuronowej a nie wybór funkcji aktywacji wpływa na zdolność sieci do bycia aproksymatorem.

Sieć neuronowa jako aproksymata

- Oba wymienione twierdzenia pokazują siłę sieci neuronowych jako narzędzi aproksymacyjnych.
- Ale żadne z nich nie pokazuje jak powinna wyglądać sieć zdolna do efektywnej aproksymacji, jaka powinna być liczba neuronów na warstwie ukrytej, etc.
- Istnieje jednak cały szereg twierdzeń wykazujących rząd wielkości błędu oszacowania sieci w zależności od liczby neuronów i jej głębokości.

Twierdzenie Barrona

- Barron A.E., Universal approximation bounds for superpositions of a sigmoidal function, IEEE Trans. on Information Theory, 39, s. 930-945, 1993
- Zajmijmy się sytuacją w której naszym celem jest aproksymacja pewnej funkcji $f(X)$ za pomocą znanej już nam sieci neuronowej postaci: $G(X) = \sum_{i=1}^n a_i \sigma(w_i^T x + b_i)$

Twierdzenie Barrona

- Jedną z podstawowych miar odległości jest **MISE** (*mean integrated squared error*) definiujemy ją jako:

$$MISE = E||G - f||_2^2 = E\left[\int (G(X) - f(x))^2 dx\right]$$

- Rozpatrujemy klasę funkcji $f: \mathbb{R}^d \rightarrow \mathbb{R}$ i $f \in \Gamma_C$ których transformata Fouriera $\hat{f}(\omega)$ spełnia warunek:

$$\int \hat{f}(\omega) |\omega| d\omega \leq C$$

- Γ_C jest zbiorem funkcji takich, których klasa $C_f \leq C$ i $0 < C$

Twierdzenie Barrona

Twierdzenie:

Dla dowolnej funkcji $f \in \Gamma_c$, dowolnej sigmoidalnej funkcji σ , dowolnej miary prawdopodobieństwa μ i $n \geq 1$ istnieje taka liniowa kombinacja n funkcji sigmoidalnych $G(X) = \sum_{i=1}^n a_i \sigma(w_i^T x + b_i)$, że:

$$\int (G(X) - f(x))^2 \mu(dx) \leq \frac{(2C)^2}{n}$$

Przy czym współczynniki wewnątrz funkcji $G(X)$ muszą spełnić 2 warunki:

1. $\sum_{i=1}^n |w_i| \leq 2C$
2. $a_0 = f(0)$

Twierdzenie Barrona

- Błąd aproksymacji jest rzędu co najwyżej $O\left(\frac{1}{n}\right)$ a błąd estymatora opartego na jednowarstwowej sieci neuronowej:

$$O\left(\frac{1}{n}\right) + O\left(\frac{nd}{M} \ln M\right)$$

gdzie M oznacza wielkość próby losowej.

- Widzimy też, że błąd aproksymacji zależy jedynie od liczby neuronów na warstwie ukrytej.
- Oznacza to, że sieć neuronowa jest modelem, stosując który możemy uniknąć **przekleństwa wymiarowości** (*Curse of Dimensionality*).

Twierdzenie Barrona

- Jednak nadal problemem może być liczba neuronów na warstwie ukrytej konieczna do wygenerowania efektywnie aproksymującej sieci neuronowej.
- W najgorszym przypadku odpowiadać ona może wszystkim możliwym kombinacjom danych wejściowych 2^d .
- Co więcej, nadal nie mamy żadnego wpływu na to czy sieć będzie się uczyła poprawnie.

Twierdzenie Barrona

- Okazuje się jednak, że efektywną metodą przeciwdziałania tego typu problemom jest zastosowanie więcej niż jednej ukrytej warstwy w swojej sieci.
- W wielu przypadkach budowa głębszego modelu pozwala na redukcję liczby neuronów potrzebnych do odpowiedniego reprezentowania aproksymowanej funkcji.
- O rzędzie wielkości błędu aproksymacji sieci z wieloma warstwami ukrytymi mówią kolejne twierdzenia, które omówimy.

Sieć neuronowa jako aproksymata

- Oznacza to, że najprostsza sieć neuronowa jest uniwersalnym aproksymatorem. Dlaczego jednak używamy bardziej złożonych sieci?

Sieć neuronowa jako aproksymata

- Oznacza to, że najprostsza sieć neuronowa jest uniwersalnym aproksymatorem. Dlaczego jednak używamy bardziej złożonych sieci?
- Okazuje się, że sieci głębokie efektywniej eksploatują właściwości funkcji, które aproksymują, dzięki temu ich złożoność może być znacznie mniejsza niż w przypadku sieci z jedną warstwą ukrytą.

Twierdzenie Telgarskiego

- Telgarsky M., Representation Benefits of Deep Feedforward Networks
- Na bardzo prostym przykładzie Telgarsky pokazuje jak działa taki mechanizm.

Twierdzenie Telgarskiego

- Funkcję postaci:

$$m(x) = \begin{cases} 2x & \text{gdy } x \in [0, 0.5] \\ 2(1 - x) & \text{gdy } x \in [0.5, 1] \end{cases}$$

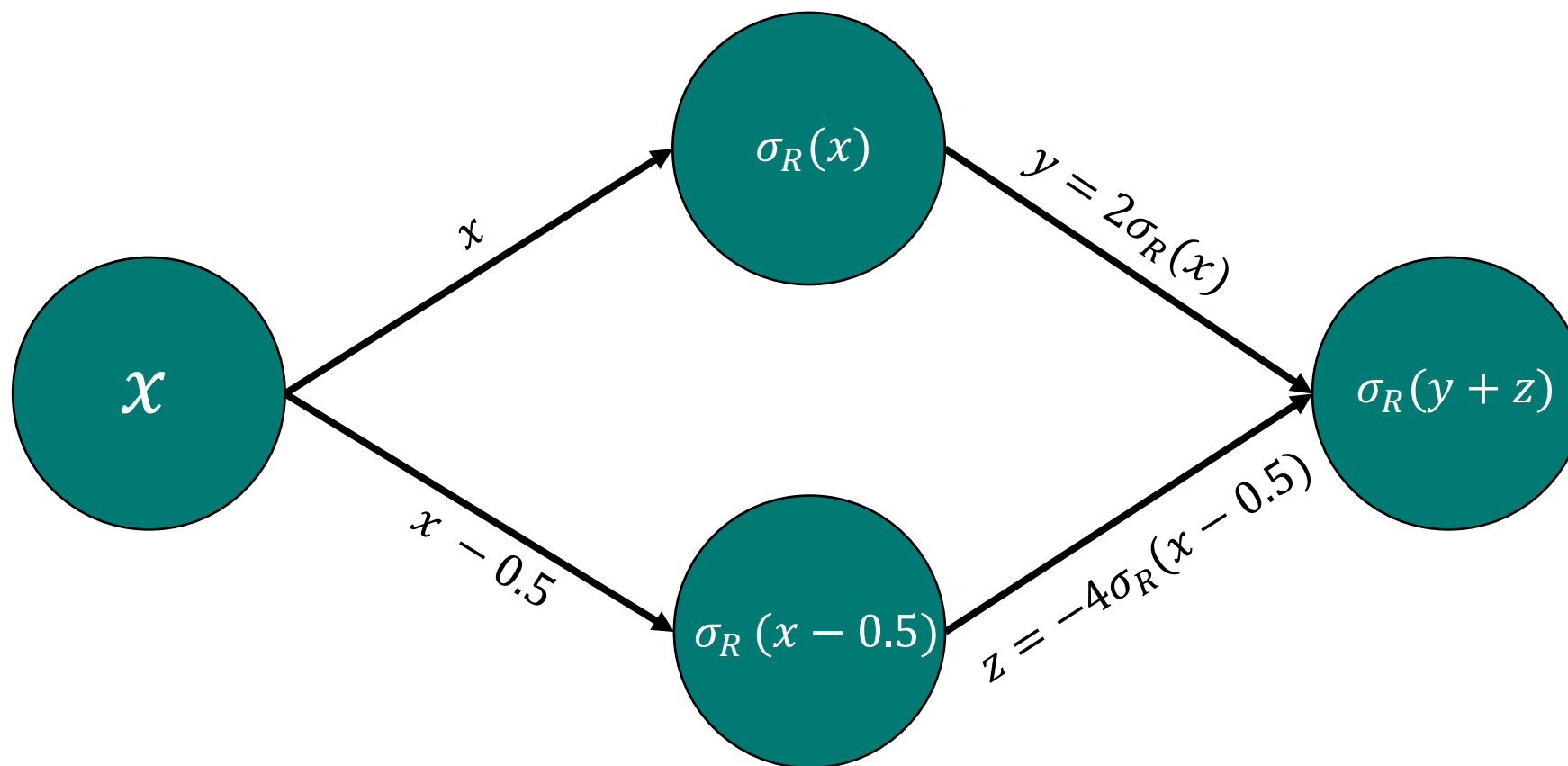
- Jesteśmy w stanie wyaprosymować ze 100% dokładnością za pomocą sieci neuronowej:

$$f(x) = \sigma_R(2\sigma_R(x) - 4\sigma_R(x - 0.5))$$

Gdzie σ_R to funkcja aktywacji ReLU: $\sigma_R(x) = \max(0, x)$

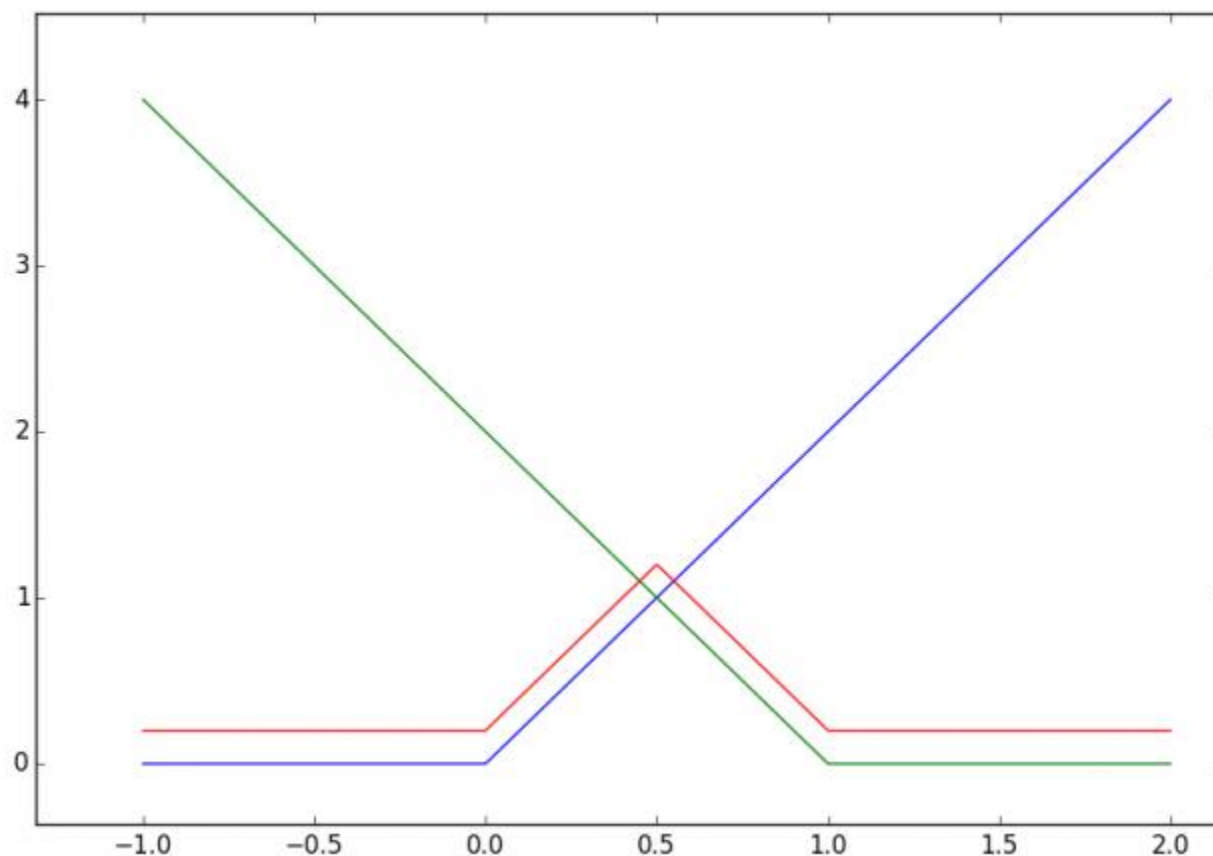
Twierdzenie Telgarskiego

- Taka sieć neuronowa ma postać:



Twierdzenie Telgarskiego

- A jej funkcje aktywacji wyglądają następująco:



Źródło: <http://elmos.scripts.mit.edu/mathofdeeplearning/2017/04/09/mathematics-of-deep-learning-lecture-2/>

Twierdzenie Telgarskiego

- Przy każdym kolejnym złożeniu funkcji $m\left(\dots\left(m(x)\right)\right) = m^{(k)}(x)$ wzrasta ilość jej „zębów”.
- Każdy nowy trójkąt ma o połowę mniejszą szerokość i taką samą wysokość.
- Funkcja $m^{(k)}(x)$ ma dokładnie 2^k przedziałów liniowych.
- Do jej aproksymacji ze 100% dokładnością możemy wykorzystać sieć neuronową o strukturze podanej wcześniej i dokładnie $3k + 1$ neuronach.

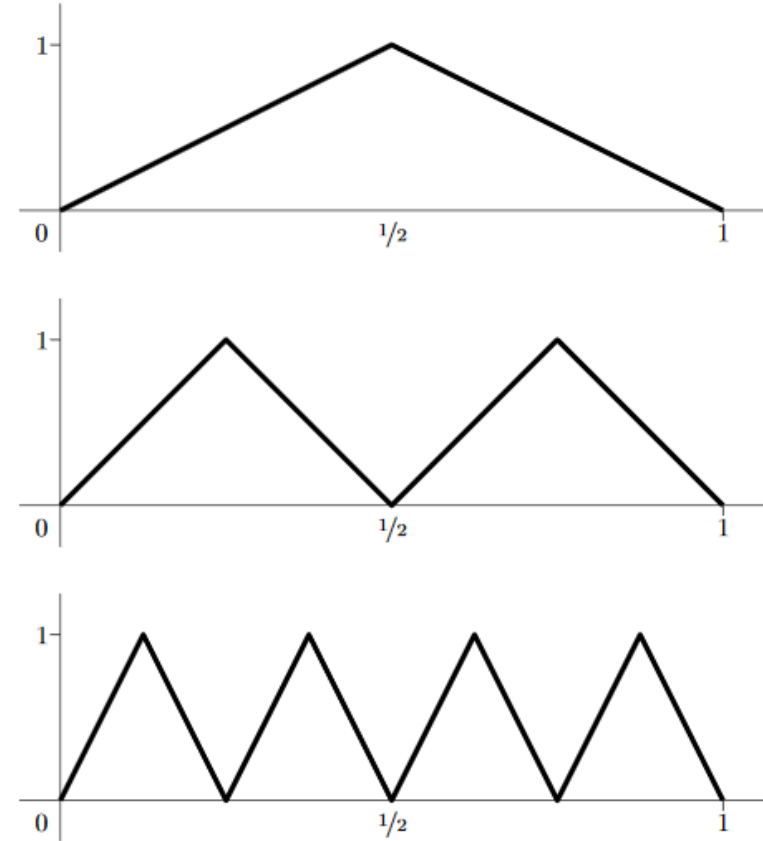


Figure 2: f_m , f_m^2 , and f_m^3 .

Twierdzenie Telgarskiego

Twierdzenie:

Niech $x_i = i/2^k$, $y_i = m^{(k)}(x_i)$ i $y_i \in \{0,1\}$. Dla zadanej funkcji F i zbioru punktów (x_i, y_i) zdefiniujmy błąd klasyfikacji jako:

$$R(F) = \frac{1}{n} \sum_i \mathbf{1}\{\tilde{F}(x) \neq y_i\},$$

gdzie $\tilde{F}(x) = \mathbf{1}\{F(x_i) \geq 1/2\}$ to funkcja klasyfikująca. Dla prezentowanej wcześniej sieci neuronowej $f(x)$ o 2^k warstwach ukrytych i 2 dwóch neuronach na każdej z warstw błąd klasyfikacji jest zawsze zerowy:

$$R(f) = 0$$

Dla dowolnej sieci neuronowej $g(x)$ o l warstwach i szerokości każdej z warstw $w < 2^{(n-k)/l-1}$ dolne oszacowanie błędu wynosi:

$$R(g) > \frac{1}{2} - \frac{1}{3 * 2^{k-1}}$$

Twierdzenie Montufara

- Montúfar G.F., Pascanu R., Cho K., and Bengio, Y., On the number of linear regions of deep neural networks, in: NIPS'2014, 2014
- Twierdzenie Montufara jest próbą odpowiedzi na pytanie jak głębokość sieci wpływa na efektywność aproksymacji.
- Okazuje się, że sieć, którą otrzymujemy dzięki wykorzystaniu przedziałami liniowych funkcji aktywacji (między innymi funkcji ReLU) może aproksymować dowolną funkcję z dokładnością rosnącą wykładniczo wraz ze wzrostem głębokości sieci.

Twierdzenie Montufara

- Dzieje się tak dlatego, że głęboka sieć neuronowa jest zdolna do identyfikowania obszarów funkcji posiadających taki sam przebieg i mapowania ich do tego samego neuronu na kolejnej warstwie.

Formalnie:

Definition 1. A map F *identifies* two neighborhoods S and T of its input domain if it maps them to a common subset $F(S) = F(T)$ of its output domain. In this case we also say that S and T are *identified* by F .

Twierdzenie Montufara

- Intuicyjnie można to porównać do składania funkcji narysowanej na kartce papieru wzdłuż jej osi symetrii – co ważne symetria może dotyczyć jedynie pewnych obszarów funkcji a nie jej całości.

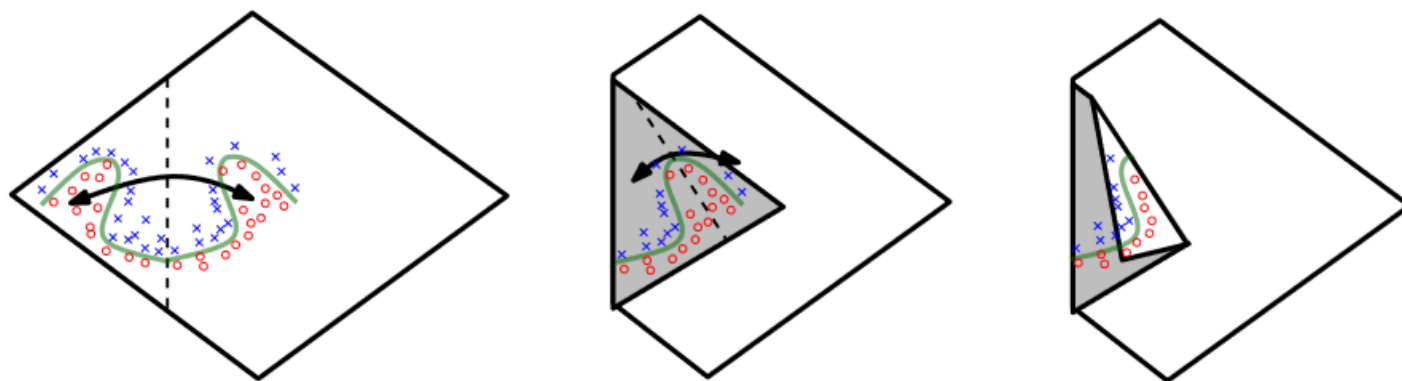


Figure 3: Space folding of 2-D space in a non-trivial way. Note how the folding can potentially identify symmetries in the boundary that it needs to learn.

Twierdzenie Montufara

- Oznacza to, że głęboka sieć neuronowa z wektorem danych wejściowych o długości d , głębokością l i n neuronami na warstwie ukrytej jest w stanie aproksymować następującą liczbę liniowych regionów:

$$O \left(\binom{n}{d}^{d(l-1)} n^d \right)$$

Twierdzenie Montufara

- W rezultacie znacznie rośnie efektywność aproksymacji za pomocą sieci kilka warstw ukrytych w porównaniu z siecią z tylko jedną warstwą ukrytą.
- Sieć z jedną warstwą ukrytą musi wykorzystać pewną ilość neuronów do aproksymacji każdego fragmentu funkcji – nawet takich, których przebieg jest dokładnie taki sam.

Twierdzenie Montufara

- W przypadku sieci głębokich takie fragmenty są na siebie mapowane.
- Dzięki temu neurony, które byłyby przeznaczone na aproksymację dwóch przedziałów aproksymują tylko jeden.
- Przez dokładność aproksymacji, przy takiej samej bądź mniejszej liczbie neuronów, jest wyraźnie wyższa w porównaniu z siecią z jedną warstwą ukrytą.
- Prowadzi to też do ważnego wniosku na temat aproksymowanej funkcji – im bardziej jest ona symetryczna tym większa jest dokładność jaką możemy uzyskać za pomocą naszego modelu.

Dodatkowa praca domowa

- Wykaż, że algorytm propagacji wstecznej poprawnie wyznacza błąd na każdym z neuronów sieci neuronowej (**5 punktów**).

